何灿隆, 沈明霞, 刘龙申, 等. 基于 NB-IoT 的温室温度智能调控系统设计与实现[J]. 华南农业大学学报, 2018, 39(2): 117-124.

基于 NB-IoT 的温室温度智能调控系统设计与实现

何灿隆,沈明霞,刘龙申,OKINDA Cedric,杨 稷,施 宏(南京农业大学工学院/江苏省智能化农业装备重点实验室,江苏南京 210031)

摘要:【目的】以 NB-IoT 低速率窄带宽物联网技术为核心, 研制一套以 5G 低功耗海量连接场景前期技术为基础的智能温室环境自动调控系统。【方法】应用 MSP430F149 超低功耗芯片采集环境信息, 依托 NB-IoT 蜂窝物联网平台, 云端智能调控系统, 结合多传感器融合与模糊 PID—分级控制技术, 根据用户需求调节温室环境。【结果】该系统在温室大棚内实地应用的结果表明: 温室环境信息采集相对误差不超 1%, 平均控制精度在 3.57%(±1.0 ℃), 无传输距离限制, 实现作物生长温度的自动调节。【结论】该系统稳定可靠, 为作物的生长提供良好环境, 对作物的研究提供有力的技术支撑。

关键词: NB-IoT: 5G: 多传感器融合: 模糊 PID: 温室: 温度

中图分类号: S126 文献标识码: A 文章编号: 1001-411X(2018)02-0117-08

Design and realization of a greenhouse temperature intelligent control system based on NB-IoT

HE Canlong, SHEN Mingxia, LIU Longshen, OKINDA Cedric, YANG Ji, SHI Hong (College of Engineering, Nanjing Agricultural University/Laboratory of Modern Facility Agriculture Technology and Equipment Engineering of Jiangsu Province, Nanjing 210031, China)

Abstract: 【Objective】 To develop an automated greenhouse environmental monitoring and control system based on an NB-IoT low-rate narrow bandwidth networking and 5G low-power massive connection technology. 【Method】 Ultra-low power chip MSP430F149 was applied to collect environmental information. Using the NB-IoT's cellular networking platform and the cloud intelligent control system and combining multi-sensor fusion with fuzzy PID-grading control technology, greenhouse environment was controlled according to user needs. 【Result】 Using the automated system in greenhouse, the relative error of greenhouse environmental information collection was below 1%, the average control accuracy was 3.57% (±1.0 °C), the transmission distance was not limited and the automatic regulation of crop growth temperature was realized. 【Conclusion】 The system is stable and reliable, and provides a favorable environment for plant growth as well as a strong technical support for crop research.

Key words: NB-IoT; 5G; multi-sensor fusion; fuzzy PID; greenhouse; temperature

目前农业物联网技术通常采用 ZigBee、Bluetooth、Simplicti 及有线等方式,但这些技术均面临通信距离短、功耗大和因通信协议而导致的终端数量饱和问题。基于蜂窝网络的 NB-IoT 窄带宽物

联网技术,在同样带宽频段下,增益超过 20 dB,覆盖面积可扩大 100 倍,形成深覆盖,海量连接的M2M体系,有长达 10 年的待机时间和良好的功耗控制及数据连接能力,正逐渐成为我国物联网发展

收稿日期:2017-09-19 优先出版日期:2018-01-17

优先出版网址: http://kns.cnki.net/kcms/detail/44.1110.S.20180117.1559.008.html

作者简介:何灿隆 (1993—), 男, 硕士研究生, E-mail: 857256004@qq.com; 通信作者: 沈明霞 (1967—), 女, 教授, 博士, E-mail: mingxia@njau.edu.cn

基金项目: 江苏省农机三新工程项目 (NJ2017-22)

技术的主流^[1-3],通过 NB-IoT 与传感器的连接,将低成本、低功耗的移动终端分布于田野、山林、水下,为农业智能化物联网技术提供良好的保障^[4]。

本研究设计了一套基于 NB-IoT 窄带宽物联网技术的温室温度智能调控系统,应用 MSP430F149芯片与传感器技术,采集温室环境信息,通过 NB-IoT 技术直接实现无网关化,结合用户需求以及作物生长所需环境,采用 Grubbs-均值滤波和模糊PID-分级控制方法对温室温度进行智能调控,为作物生长提供良好环境。

1 系统总体架构

依据 NB-IoT 平台部署模式,基于 NB-IoT 的温

室温度智能调控系统主要由 NB-IoT 采集终端、NB-IoT 控制终端和云端智能调控系统构成 (图 1)。其中 NB-IoT 采集终端主要由超低功耗 MSP430F149 芯片、BC-95 模组以及低功耗环境信息采集传感器构成; 采集终端所获得的环境数据通过 L2TP 隧道技术构建与公共互联网完全隔离的虚拟专用网络,直接传输到 NB-IoT 基站,通过 VPDN 业务直接与云服务器进行数据交互,利用云端智能调控系统对温室系统的控制终端进行远程闭环控制; NB-IoT 控制终端主要由三菱 FX2N 系列可编程逻辑控制器、BC-95 模组以及 MSP430F149 芯片组成。云端智能调控系统主要负责环境数据的处理、存储、管理、分析、决策以及远程自动控制。

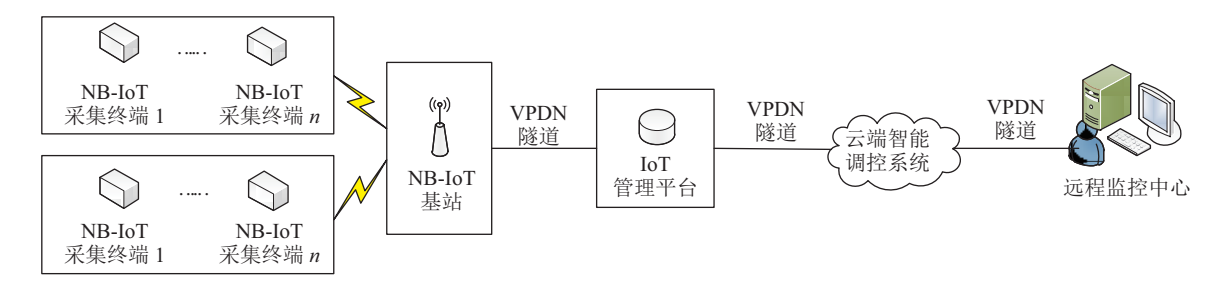


图 1 基于 NB-IoT 的温室环境智能调控系统示意图

Fig. 1 The diagram of greenhouse environment intelligent control system based on NB-IoT

2 系统硬件设计

2.1 NB-IoT 采集终端硬件设计

采集终端的硬件设计主要分为 2 个部分: NB-IoT 主控板和通信模块的电路设计。主控板负责温室环境信息的采集,通信模块负责与 NB-IoT 基站的数据交互。

2.1.1 NB-IoT 主控板的电路设计 温室所处环境较特殊,高温以及潮湿都对会硬件电路造成信号干扰,为此 NB-IoT 主控板的电源芯片采用AMS1117,其工作属于完全的负反馈方式,在电源抑制上比开关电源性能更强,尤其在小信号处理电路上能取得不错的的效果,具有快速瞬态响应和良好的噪声抑制能力,且片内集成过热保护和过流保护模块,保证芯片和系统的可靠运行^[5-7];使用SHT10、BH1750和MH-Z14分别获取温室环境内的温湿度、光照强度以及二氧化碳浓度^[8-9]。主控板的电路设计框图如图 2 所示。

2.1.2 通信模块的电路设计 通信模块电路原理 图如图 3 所示,通信模块采用 NB-IoT 系列中的 BC95 作为射频模组,与专用 NB-IoT 物联网卡进行数据 交互,最后经由 800 MHz 射频天线将环境数据直接 发送到 NB-IoT 基站。为确保有更好的电源供电性

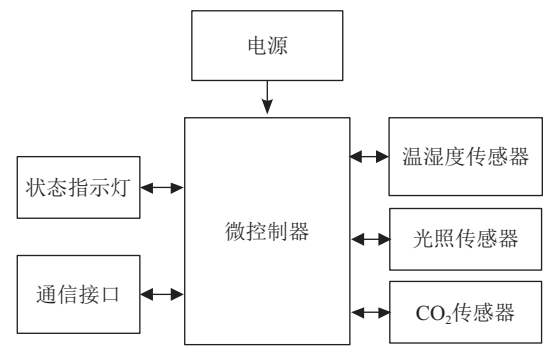


图 2 主控板设计框图

Fig. 2 Design framework of the main control board

能,在靠近 BC95 的电源输入端并联有 1 个低 ESR 的 100 μF 钽电容,以及 0.1 μF、100 pF、22 pF 的滤波电容;在射频天线的电路设计中,对于 PCB 走线使用专业阻抗模拟计算工具对射频信号线进行 50 Ω 的阻抗控制,并且预留有 π 型匹配电路,能够更加方便地调节射频性能,确保了射频信号良好以及可靠。2.1.3 NB-IoT 采集终端的工作流程 采集终端在完成设备初始化后,MSP430F149 芯片进入 LPM3模式等待定时器唤醒,同时 BC95 模块在等待一段时间后分别进入 IDLE 和 PSM 模式,当定时时间到达后,MSP430F149 芯片退出低功耗,采集温室环境信息发送给通信模块,再次进入 LPM3 模式,通信模块接

http://xuebao.scau.edu.cn

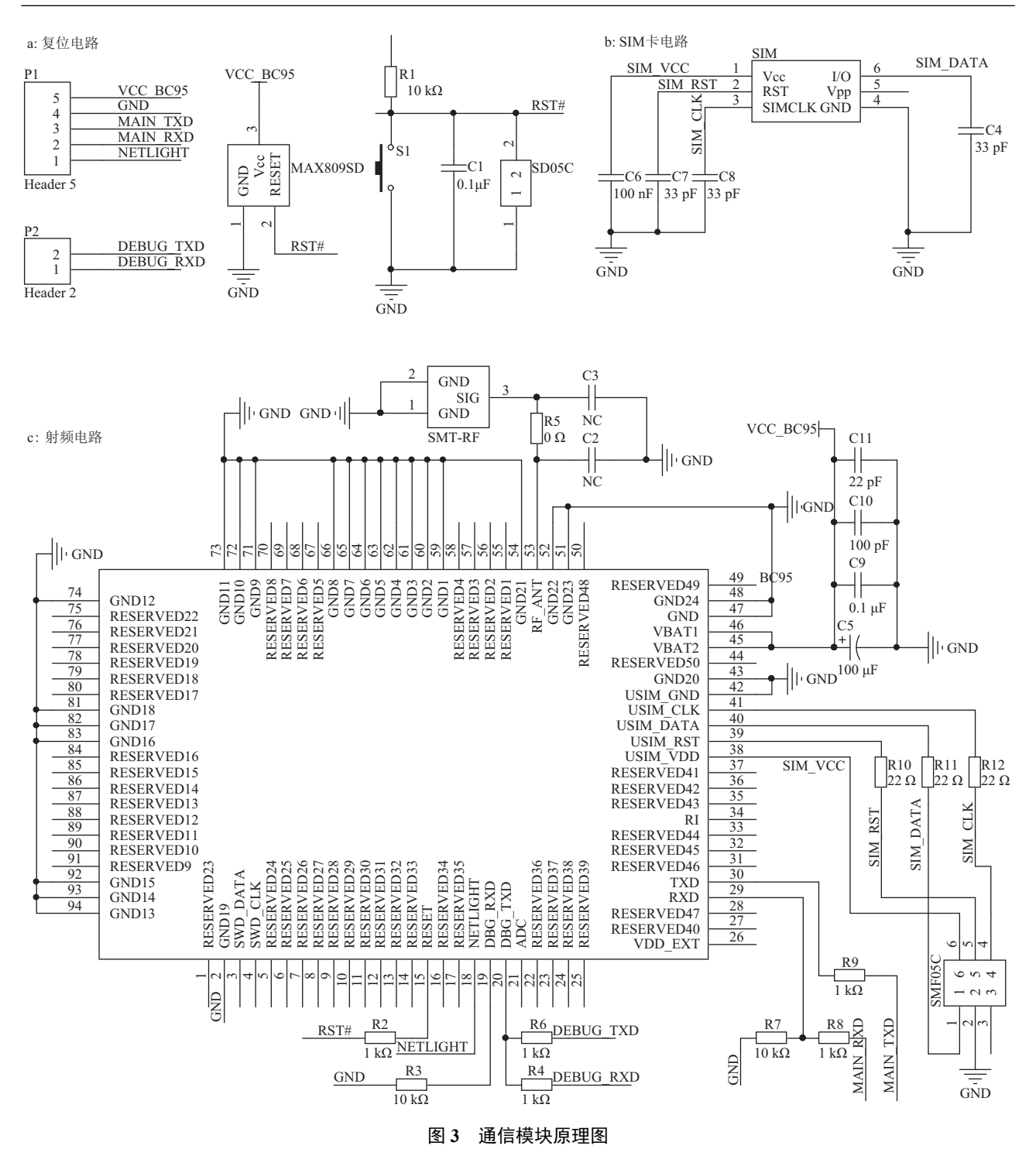


Fig. 3 Elementary diagram of communication module

收到数据后退出 PSM 模式,通过 AT 命令集将数据 发送给 NB-IoT 基站。具体工作流程图如图 4 所示。

2.2 NB-IoT 控制终端硬件设计

2.2.1 NB-IoT 控制终端硬件设计 在现有成熟稳定的智能温室布局中,大部分采用"有线网络+PLC 控制柜"对温室系统进行环境调控,保证温室控制机构的响应速度和稳定性,但其操作复杂,成本较高,需要网线或光纤、电缆线、交换机和串口服务器,且响应速度受系统网络影响,为此我们设计http://xuebao.scau.edu.cn

了一种"NB+窄带物联网+PLC 控制柜"的控制终端,实现低成本、快速响应、无线化的控制终端,使得控制终端的成本降低了75%,平均响应时间基本与TCP/IP方式持平。使用多通道 MAX232 作为 RS-232 标准串口设计的单电源电平转换模块,在低功耗关断模式下可将功耗降至5 µW 以内,并且该芯片电路设计简单且转换高效,通过串口通信与 FX2N 系列可编程逻辑控制器协同控制温室行程机构,实现温室环境的调节[10-11]。TTL 信号转232 信号电路如图 5 所示。

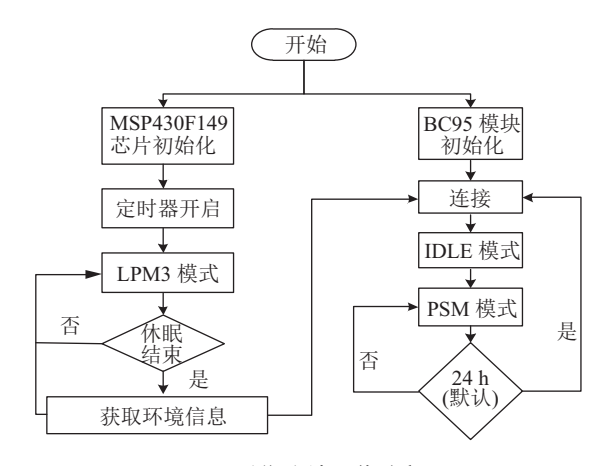


图 4 采集终端工作流程图

Fig. 4 Collect terminal flow chart

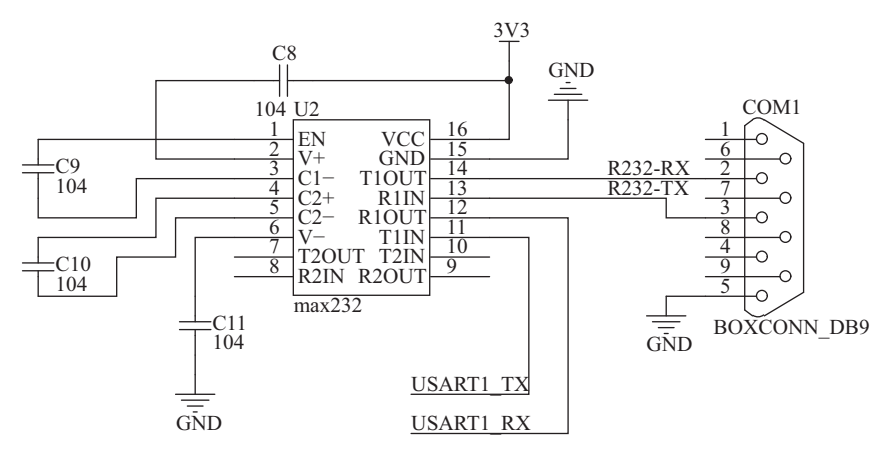


图 5 TTL 信号转 232 信号电路

Fig. 5 The circuit for transforming TTL signal to 232 signal

2.2.2 NB-IoT 控制终端的工作流程 为满足控制 机构的高效性和稳定性,控制终端需要周期访问云端智能调控系统,在行程命令处于执行结束或未更新状态下,进入低功耗状态,减少能耗。其工作流程 如图 6 所示。

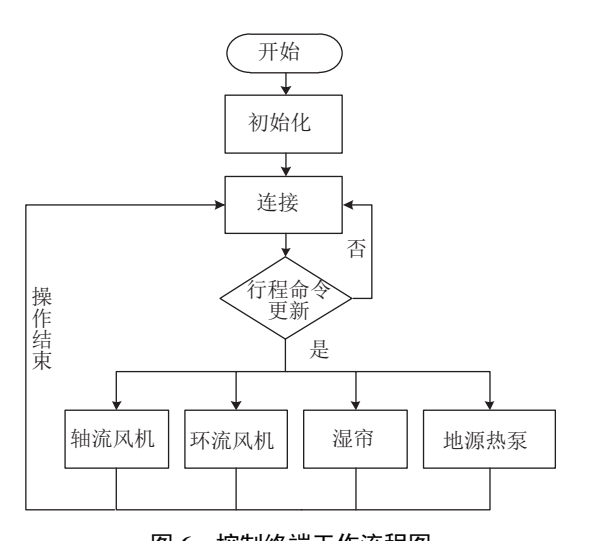


图 6 控制终端工作流程图

Fig. 6 Workflow chart of control terminal

3 数据处理

3.1 传感器异常数据的来源

采集终端在温室内的不同位置,采集的数据存在差异;单一采集终端并不能保证数据的准确性;单一的数据来源并不具有代表性;数据传输过程中的异常丢包导致异常数据。为此,采用数据帧完整性校验以及多传感器融合算法,提高温室数据的准确度。

3.2 数据帧校验

为去除异常丢包导致的异常数据,我们采用自定义数据帧校验方式,如表 1 所示, A~N 的数据格式是 16 进制,在传输协议中,将数据位的最后 1 位(N) 定义为校验位,通过数据帧前 13 位之和与0XFF 进行与运算,并将运算后的值与校验位 N 比较是否相等,从而判断数据帧的准确性,若为异常数据,则直接剔除。

3.3 多传感器融合算法

3.3.1 Grubbs 准则 为处理因传感器或设备异常而产生的异常数据,我们采用 Grubbs 准则,对同类型多传感器异常数据进行剔除,保证数据的准确性[12-13]。

http://xuebao.scau.edu.cn

表 1 数据帧传输格式

Tab. 1 Transmission format of data frame

基地	温室	终端	终端	数据	温度	温度	湿度	湿度	光强	光强	CO ₂	CO_2	校验
编号	编号	类型	编号	长度	高位	低位	高位	低位	高位	低位	高位	低位	位
A	В	C	D	E	F	G	H	I	J	K	L	M	N

假设传感器测得的温度数据序列为[$\theta_1,\theta_2,\dots,\theta_n$],并假设此序列已按数值从小到大排序,即 $\theta_1 \leq \theta_2 \leq \dots \leq \theta_n$, σ' 为 θ 的标准差,则

$$\overline{\theta} = \frac{1}{n} \sum_{i=1}^{n} \theta_i, \tag{1}$$

$$\sigma' = \sqrt{\frac{1}{n-1} \sum_{i=1}^{n} (\theta_i - \overline{\theta})^2}, \tag{2}$$

根据顺序统计原理找出格罗贝斯统计量 (g_i) 的确切分布:

$$g_i = \frac{\theta_i - \overline{\theta}}{\sigma'},\tag{3}$$

给定显著水平 a 后 (一般取 a=0.05 或 0.01),用查表法找出格罗贝斯统计量的临界值 $g_0(n,a)$ 。 $P[g_i \ge g_0(n,a)] = a$ 即为小概率事件,在 $\theta_i(i=1,2,3,...,n)$ 服从正态分布时不应出现。若满足 $g_i \ge g_0(n,a)$,则认为统计量 g_i 的分布存在显著差异,对应的 θ_i 含有疏失误差,即 θ_i 为可疑温度值,应当剔除;若 $g_i < g_0(n,a)$,则认为对应的 θ_i 没有疏失误差值,保留 θ_i 。最终得到处理过后的温度数据序列[$\theta_1',\theta_2',...,\theta_{m'}$]($m \le n$)。3.3.2 均值滤波 对温度数据序列[$\theta_1',\theta_2',...,\theta_{m'}$]

进行均值滤波,得到融合值 (Data):

Data =
$$(\sum_{i=1}^{m} \theta_i')/m_{\circ}$$
 (4)

采集终端在温室的安装位置如图 7 所示。



图 7 采集终端位置

Fig. 7 Location of collected terminal

4 机构控制

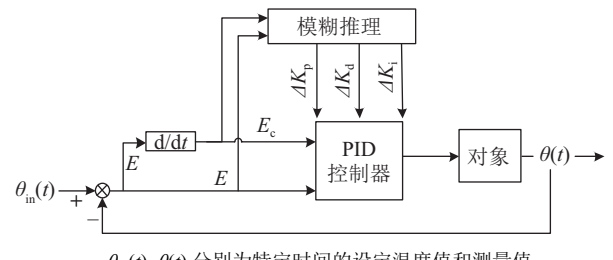
在现阶段的温室智能控制中,大多采用常规的PID控制,这种方法控制简单,便于实现,然而温室http://xuebao.scau.edu.cn

是一个非线性、时变、时延大、多变量耦合的复杂对象,采用固定参数的常规 PID 控制这样的对象,参数整定较为困难,且参数不能随系统的变化而变化,很难实现最佳控制[14],并且在现有温室框架中,主流控制设备为风机、湿帘、环流风机、补光灯等,几乎没有控制对象可以接收模拟量的输出控制。为此,本研究结合模糊响应与分级控制,以达到控制温室环境的目的。

4.1 模糊 PID 控制器

模糊 PID 在常规的 PID 控制中采用模糊推理思想,根据设定温度值 $\theta_{in}(t)$ 与测量值 $\theta(t)$ 之间的偏差 E 和偏差变化率 E_c 的不同,基于前一次的比例、积分和微分参数 $(K_p, K_i' \pi K_d')$,对比例、积分和微分参数 $(K_p, K_i \pi K_d)$ 进行在线自整定,结合专家控制经验建立 ΔK_p 、 ΔK_i 和 ΔK_d 与 E 和 E_c 间的自整定函数关系,使得系统在不同情况下对 K_p 、 K_i 和 K_d 不断地修改和调整,改善了被控系统的动态和稳态性能、提高其抗干扰能力[15-16],PID 控制器的输出如式5 所示,模糊 PID 控制结构框图如图 8 所示。

$$\begin{cases}
K_{p} = K_{p}' + \Delta K_{p} \\
K_{i} = K_{i}' + \Delta K_{i} \\
K_{d} = K_{d}' + \Delta K_{d}
\end{cases} (5)$$



θ_m(t), θ(t) 分别为特定时间的设定温度值和测量值
 图 8 模糊 PID 控制结构框图

Fig. 8 Stuctural diagram of the fuzzy PID control block

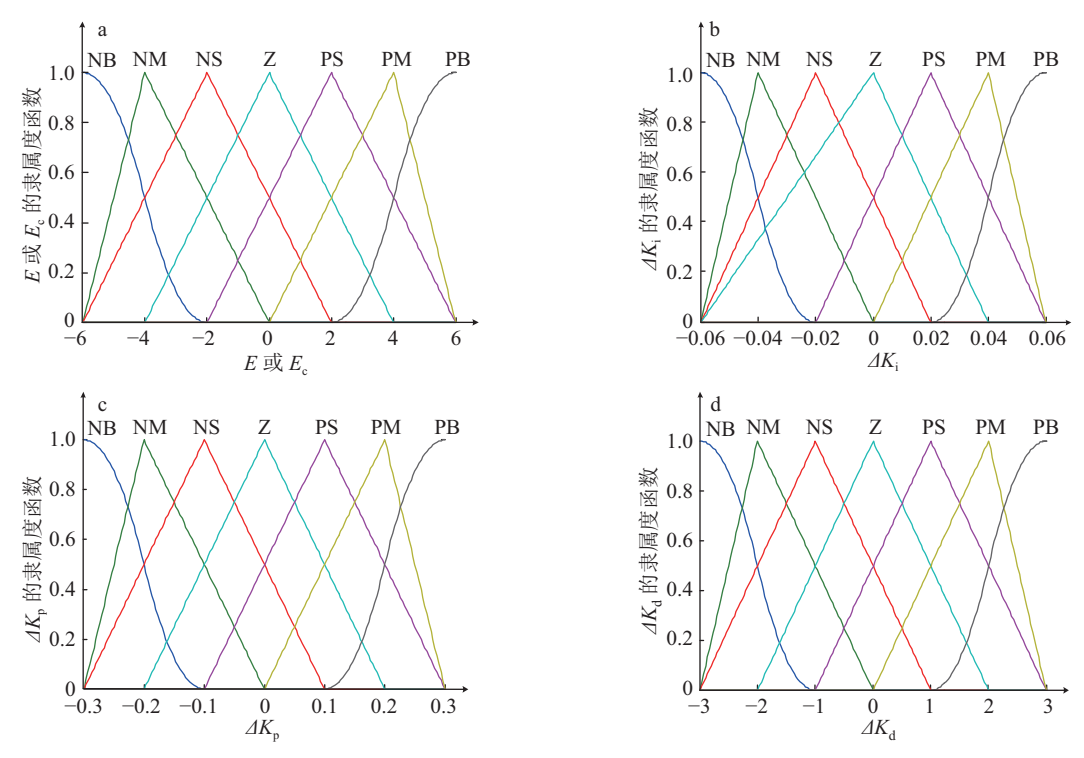
4.2 模糊化设计

模糊推理输入和输出的都是精确量,而本身是模糊量,这就需要在算法实现过程中实现精确量的模糊化、模糊决策和解模糊化。模糊设计主要包含2个方面:一个是模糊量的个数,另一个是模糊量隶属函数的设计。

本系统选用 E 和 E_c 作为模糊控制器的输入, ΔK_p 、 ΔK_i 和 ΔK_d 作为模糊控制器的输出变量,根据

工程经验将 E、 E_c 、 ΔK_p 、 ΔK_i 和 ΔK_d 的模糊子集都定义为[NB(负大)、NM(负中)、NS(负小)、Z(零)、PS(正小)、PM(正中)、PB(正大)],其中 E 和 E_c 的论域设定为[-6, 6], ΔK_p 、 ΔK_i 、 ΔK_d 分别为[-0.3, 0.3]、[-0.06, 0.06]、[-3, 3],系统参数的隶属度函数设定如图 9 所示。总结工程设计人员的技术知识和实际操作经

验以及 $\Delta K_{\rm p}$ 、 $\Delta K_{\rm i}$ 、 $\Delta K_{\rm d}$ 参数间的相互作用及影响,据此建立 $\Delta K_{\rm p}$ 、 $\Delta K_{\rm i}$ 、 $\Delta K_{\rm d}$ 模糊控制规则表,以 $\Delta K_{\rm p}$ 为例,如表 2 所示,本系统采用平均最大隶属度法进行解模糊,在系统运行过程中控制系统通过对模糊逻辑结果的分析、查表、计算等,完成 PID 参数的自动校正,并进行分级运算控制,工作流程如图 10 所示。



NB、NM、NS、Z、PS、PM 和 PB 分别表示程度为负大、负中、负小、零、正小、正中和正大

图 9 E或 E_c 、 ΔK_i 、 ΔK_p 以及 ΔK_d 的隶属度函数

Fig. 9 Membership functions of E or E_c , ΔK_i , ΔK_p and ΔK_d

表 2 $\Delta K_{\rm p}$ 的模糊控制规则 $^{\rm p}$ Tab. 2 Fuzzy control rules for $\Delta K_{\rm p}$

<i>E</i> _c -	E										
	NB	NM	NS	Z	PS	PM	PB				
NB	PB	PB	PM	PM	PS	Z	Z				
NM	PB	PB	PM	PM	PS	Z	NS				
NS	PM	PM	PM	PS	Z	NS	NS				
Z	PM	PM	PS	Z	NS	NM	NM				
PS	PS	PS	Z	NS	NS	NM	NM				
PM	NS	Z	NS	NM	NM	NM	NB				
PB	Z	Z	NM	NM	NM	NB	NB				

1) NB、NM、NS、Z、PS、PM 和 PB 分别表示程度为负大、负中、负小、零、正小、正中和正大

4.3 模糊仿真

温室模糊控制系统是个多输入多输出系统,输入变量有当前温度偏差以及温度偏差变化率,输出为 $\triangle K_{\rm p}$ 、 $\triangle K_{\rm i}$ 和 $\triangle K_{\rm d}$,根据余欢乐等[17]建立的温室

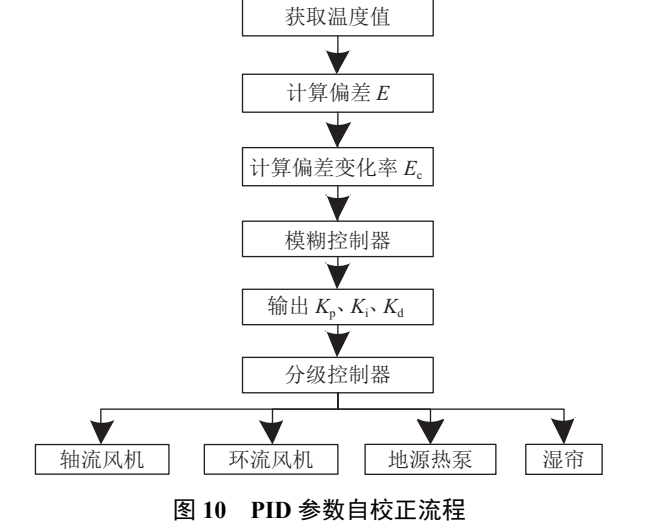


Fig. 10 Procedure of self-correction of PID parameters

温度控制模型,近似将其看成具有扰动参与的一阶惯性时滞环节,在 matlab 中搭建模糊 PID 控制系统和常规的 PID 控制系统,根据图 11 仿真曲线对比http://xuebao.scau.edu.cn

和分析两者的性能差异。模糊 PID 比普通 PID 的超调量减少了 74.6%、上升时间增加了 53.4%、达到峰值时间增加了 31.3%,模糊 PID 具有超调量小,鲁棒性高的优势。

4.4 控制采集软件设计

以安全、稳定的面向对象语言 C#作为软件系统设计基础,通过 UDP 通信协议以及多线程操作机制设计出一套集终端数据存储、曲线展示、报表分析、规则控制、参数设置为一体的云端智能调控系统。软件界面如图 12 所示。

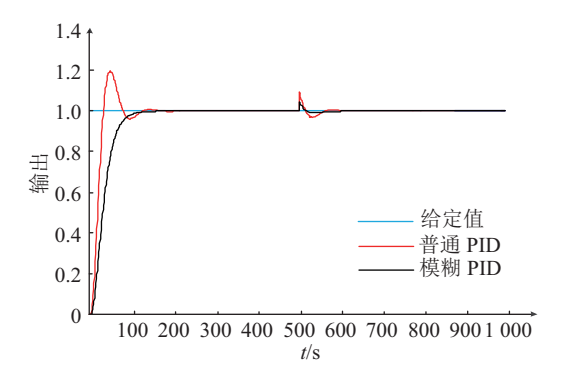


图 11 模糊 PID 与传统 PID Fig. 11 Fuzzy PID and traditional PID

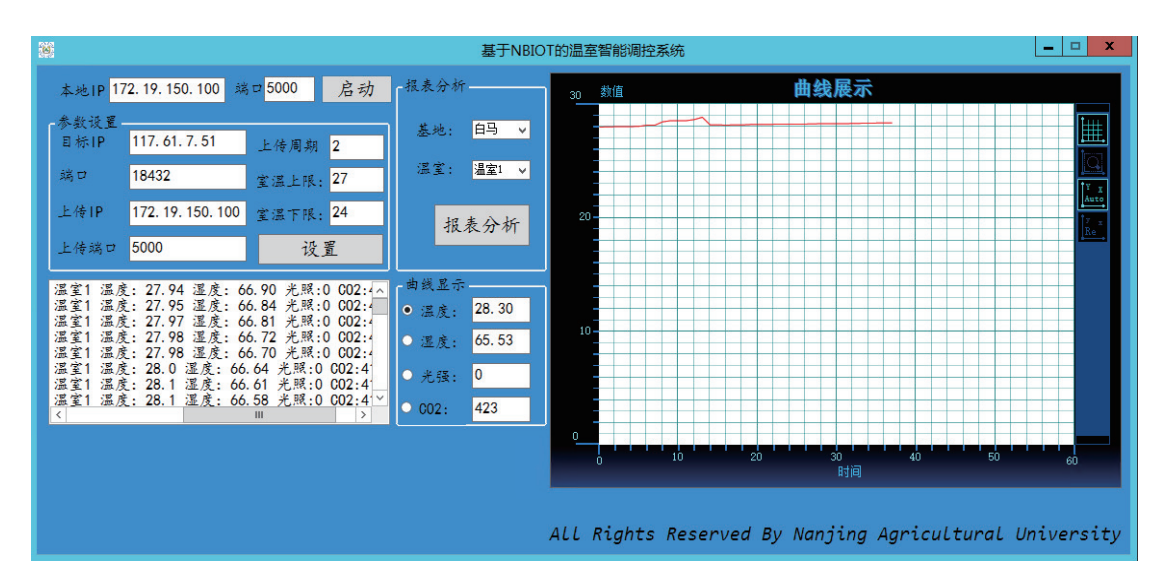


图 12 控制采集软件界面

Fig. 12 Interface of the control and collection software

用户设定采集终端上传环境信息的周期和室温上下限,通过 Grubbs-均值滤波以及模糊 PID-分级控制算法智能调节温室内环境,并通过数据曲线以及报表分析判断系统调节性能,利用历史数据对作物生长环境进行相关科学性研究。

Tab. 3 Multipoint temperature measurements and fusion values

5 系统测试

5.1 多传感器融合滤波算法的实现

通过 Grubbs-均值滤波算法对同温室温度数据进行融合处理,得到表 3 所示的结果。分别以组 1 以及组 4 进行数据解析。

32.40

0.93

36.50

0.45

 $^{\circ}$ C

30.40

0.62

表 3 多点温度测量值和融合值

•	•								
指标	组1	组2	组3	组4	组5	组6	组7	组8	
测量值[1]	34.40	33.70	33.20	31.10	33.50	32.70	36.31	30.22	
测量值[2]	34.40	33.20	33.20	31.10	33.60	32.70	36.33	30.22	
测量值[3]	34.60	33.90	33.20	33.40	33.50	32.70	36.35	30.20	
测量值[4]	34.40	33.80	33.20	31.10	33.50	32.60	36.34	30.20	
测量值[5]	34.50	33.80	33.10	31.10	33.60	32.70	36.33	30.22	
融合值	33.46	33.80	33.20	31.10	33.54	32.70	36.33	30.21	

31.40

-0.64

33.40

0.95

33.10

0.30

http://xuebao.scau.edu.cn

33.30

-0.47

33.50

0.90

JR912数显温度计读数

相对误差/%

组 1: T_i =34.46, V_i =[-0.06, -0.06, 0.14, -0.06, 0.04], σ_1 =0.089 44, $g_0 \times \sigma_1$ =0.149 36;

组 4: T_i =31.56, V_i =[-0.46, -0.46, 1.84, -0.46, -0.46], σ_1 =1.028 59, $g_0 \times \sigma_1$ =1.717 74, 式中, T_i 为算术平均值, V_i 为剩余误差, 0 < i < 6, σ_1 为近似误差, 通过查表得 $g_0(5, 0.05)$ =1.67。

组1中没有可疑值需要剔除,组4中33.40为可疑值,需要剔除,将剔除后的数据进行均值计算求得组1和组4中的融合值分别为33.46和31.10,融合值与JR912测得的温度数值相对差为0~1.03%,符合农业大棚的温度精度要求。

5.2 模糊 PID-分级控制效果的实现

设置室温 28 \mathbb{C} , 温室温度控制效果如图 13 所示,系统到达稳定状态耗时 12.96 min,温度为 26~30 \mathbb{C} , 最大相对误差不超 7.14%,平均相对误差 为 3.57%(\pm 1.0 \mathbb{C})。

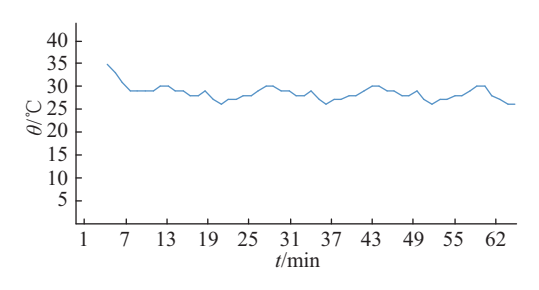


图 13 设置室温为 28 ℃ 的温室温度变化

Fig. 13 Greenhouse temparature change under set temperature of 28 °C

6 结论

传统的环境监测系统都需要用网关汇聚采集 终端的数据,并通过网络等有线方式控制温室执行 机构,且采用移植和抗干扰性较差的传统 PID 来调 节温室环境。

本研究主要以 NB-IoT 技术在农业温室领域的应用研究以及温度方面的调节测试为主,设计了一套以 NB-IoT 窄带宽物联网技术为基础的智能控制系统,集多传感器融合滤波、模糊 PID-分级控制、报表分析为一体的云端智能监控平台。试验结果表明,该系统将采集温度数值的相对误差缩小为1.1%,温度控制平均相对误差缩小为±1 ℃,符合温室环境采集控制的要求,可为温室智能控制提供良好的技术支撑。

参考文献:

- [1] 黄文超. NB-IoT 低速率窄带物联网通信技术现状及发展趋势[J]. 电子测试, 2017(6): 29.
- [2] WANG Y P E, LIN X, ADHIKARY A, et al. A primer on 3GPP narrowband internet of things[J]. IEEE Commun Mag, 2017, 55(3): 117-123.
- [3] ADHIKARY A, LIN X, WANG Y P E. Performance evaluation of NB-IoT coverage[C]// IEEE. 2017 IEEE 86th vehicular technology conference. Toronto: IEEE, 2017: 1-5.
- [4] 曲井致. NB-IoT 低速率窄带物联网通信技术现状及发展趋势[J]. 科技创新与应用, 2016(31): 115.
- [5] 李春玉. 密闭环境空气质量监测系统[D]. 哈尔滨: 哈尔滨理工大学, 2016.
- [6] 张宏, 沈明霞, 陆明洲, 等. 穿戴式猪用心电监测系统设计[J]. 南京农业大学学报, 2016, 39(5): 872-879.
- [7] 郑晓庆, 杨日杰, 杨立永, 等. 多路输出 DC-DC 电路设计[J]. 国外电子测量技术, 2012, 31(9): 31-33.
- [8] HE J, XU L, WANG P, et al. A high precise E-nose for daily indoor air quality monitoring in living environment[J]. Integration, 2016, 58: 286-294.
- [9] DENG H B, ZHANG L. Design on ZigBee wireless sensor network node[J]. Key Eng Mater, 2011, 474/475/476: 283-286.
- [10] 熊本海, 蒋林树, 杨亮, 等. 奶牛饲喂自动机电控制系统的设计与试验[J]. 农业工程学报, 2017, 33(7): 157-163.
- [11] SU B, MA X. Water level sensor based on a new design structure for irrigation water measurement[J]. Ifac Proceedings Volumes, 2010, 43(26): 39-44.
- [12] 刘叶玲, 朱艳伟. 加权数据融合算法及其应用举例[J]. 西安科技大学学报, 2005, 25(2): 253-255.
- [13] 袁明月, 鸿雁, 杨志, 等. 基于 Grubbs 准则的小波阈值 改进研究[J]. 人民长江, 2014(14): 69-71.
- [14] 涂川川, 朱凤武, 李铁. BP 神经网络 PID 控制器在温室 温度控制中的研究[J]. 中国农机化学报, 2012(2): 151-154.
- [15] 韦庆志. 基于 ARM 的模糊 PID 温度控制系统的研究 [D].镇江: 江苏大学, 2010.
- [16] KUMAR A, KUMAR V. A novel interval type-2 fractional order fuzzy PID controller: Design, performance evaluation, and its optimal time domain tuning[J]. Isa T, 2017, 68: 251-275.
- [17] 余欢乐, 方永锋. 基于模糊自整定 PID 的温室温度控制系统设计及仿真[J]. 江苏农业科学, 2016, 44(12): 383-386.

【责任编辑 庄 延】